

国外机械技术参考资料

不銹鋼腐蝕譯文專集

第 18 期

(总 22 期)

第一机械工业部机械科学研究院

1964年11月

目 录

一、13—3不銹鋼的晶間腐蝕問題（俄文）	1
二、不銹鋼容器的晶間腐蝕（德文）	8
三、高溫高压容器材料（日文）	16
四、奧氏体不銹鋼應力腐蝕開裂的定性機理（英文）	32
五、在煉油廠和石油化學工業中的高溫腐蝕（英文）	48
六、在石油精煉工程環境中不銹鋼的耐蝕試驗（日文）	62
七、原子反應堆材料的腐蝕及防止（日文）	68

18-8不銹鋼的晶間腐蝕問題

B. A. 苏布魯諾夫, B. H. 克謝勒尼克夫

關於研究晶間腐蝕原因的著作已有不少，但多數均系從不同角度闡述各種合金，首先是18-8型鉻鎳合金鋼中所遇到的這種危險的破壞機理與性質。迄今為止，尚未有全面論述各種晶間破壞的統一理論。肯茨爾和弗朗克斯〔1〕認為析出的碳化物在晶界形成類似屈氏體的組織，而屈氏體在酸中是不穩定的。這種關於與屈氏體組織相近似的設想，並不能揭示晶間破壞原因的實質。而且對鉻鎳鋼中析出的碳化物亦研究的很不夠。

經研究分析證明：如 $(Cr, Fe)_{18}C_6$ 型碳化物發生凝結作用，則同時將減少鐵含量，而在晶粒邊界便會有各種鉻含量的鐵鎳合金。根據擴散定律可以確定元素在“貧化”區內的分布。擴散速度可用下列公式確定。

$$D = D_0 e^{-\frac{Q}{RT}}$$

在公式中，未考慮系統的多成分性和微觀應力影響等因素。當富鉻相析出時，擴散元素濃度的分布可以用圖1中的曲線來說明。

這些相析出的同時，產生 α -相，亦即發生 $\gamma \rightarrow \alpha$ 轉變的過程。謝爾蓋耶夫〔9〕對這種現象作了詳細的研究，鉻在晶界的同时貧化及 $\gamma \rightarrow \alpha$ 的轉變劇烈地提高了該區內的電位。因此邊界區域和晶粒邊界在晶間腐蝕過程中起着陽極的作用。

陽極區域的電位量決定於一系列的因素：鋼的化學成分、熱處理的方法、相變的特性與程度。

本報告的任務系根據不同的熱處理方式研究晶粒表面組織的微觀分布情況並從而確定晶間腐蝕發展的某些規律以及確定一般腐蝕和組織腐蝕時鋼中元素過渡到溶液中的數量上的比例。

試驗部分

採用1X18H、1X18H9T、X18HM31和X18H11B鋼板作為研究對象。把這些鋼板裁切成截面為 3×3 毫米及長度為35—40毫米的試樣。試樣的一端在機床上用專用裝置進行了磨削。

試樣經過了下列熱處理：

- a. 感應加熱到850°、1000°和1100°時淬火；
- b. 用普通加熱方法加熱到850°、1000°和1100°的淬火；
- c. 在650°下回火並保溫，保溫時間的長短根據在鋼中出現晶間腐蝕的趨勢而定。

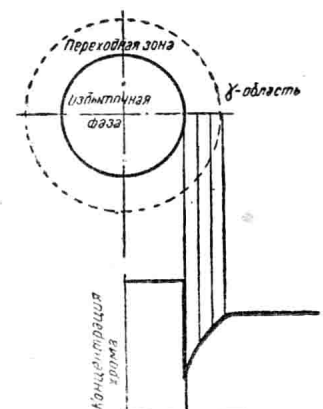


图1 在接近析出的剩余相区域內鉻濃度的變化。

1X18H9T、1X18H9、X18H12M3T 和 18H11B 牌号鋼試樣

表面顯微硬度的分布与热处理方式的关系。

表 1

压痕位置	压痕尺寸		硬 度 公斤/毫米 ²	組 織 特 性
	微米	度		
1X18H9T 鋼。从 1000° 淬火				
晶粒場呈灰色	12.5	240.0		奧氏体組織，具有晶內微細
晶粒場明亮	12.5	250.0		碳化物
晶粒場含碳化物	9.35	432.0		
1X18H9T 鋼在 650° 下回火 10 小时				
晶粒場純淨	12.5	250.0		有清晰边界輪廓的奧氏体組
晶粒場呈灰色	11.82	270.0		織
晶粒边界	16.82	132.0		
晶界碳化物	6.2	751.5		
晶內碳化物	8.7	416.0		
1X18H9 鋼。从 1100° 淬火				
晶粒場明亮	10.3	350.8		无剩余相的奧氏体組織
晶粒場暗淡	10.0	370.0		
晶界	10.0	370.0		
1X18H9 鋼。在 650° 下回火 2 小时				
晶粒場明亮	13.08	220.0		有清晰边界輪廓的奧氏体組
晶粒場呈灰色	12.77	280.0		織
晶粒場暗淡	14.02	189.2		沿晶界的碳化物鏈
晶界	12.46	240.9		
晶界碳化物	7.2	724.0		
X18H12M3T 鋼。从 1100° 淬火				
晶粒場明亮	33.7	163.0		晶界上的碳化物鏈
晶粒場暗淡	29.6	282.0		
晶界	14.6	173.2		
晶界碳化物	7.2	742.0		
X18H12M3T 鋼，在 650° 下回火 12 小时				
晶粒場明亮	11.21	296.4		具有碳化物鏈的清晰晶界輪
晶界	11.53	282.0		廓
具有碳化物鏈的晶界	7.0	756.0		

續表 1

压痕位置	压痕尺寸 微米	硬度 公斤/毫米 ²	组织特性
X18H11B 钢。从 1100° 淬火			
晶粒场明亮	12.77	228.0	奥氏体组织
晶粒场暗淡	15.88	146.8	
晶界	13.71	198.2	
X18H11B 钢。在 650° 下回火 12 小时			
晶粒场明亮	13.4	203.8	沿晶界有碳化物链的奥氏体组织
晶粒场暗淡	17.76	125.6	
晶界	17.13	137.0	
沿晶界碳化物	7.16	724.0	

热处理后，用金相方法研究了组织中的变化及测定晶粒表面的显微硬度。经不同的热处理方法处理后，所测定的钢显微硬度的试验数据列入表1。

确定可以判明下列组织成分的硬度：

a) 奥氏体为固溶体，并且没有析出的剩余相，在显微镜下显得明亮；b) 奥氏体在其内析出的剩余相为稳定的TiC及不稳定的Ti_xC碳化钛，在显微镜下呈灰或色泽暗淡；b) 在本身成分中没有析出剩余相的晶界；c) 有剩余相的晶界，它们可能是简单的和复杂的碳化物和金属间化合物。

1 X18H9 钢在650°下经过2小时回火后有明显晶界轮廓的奥氏体组织，其平均硬度达其753公斤/毫米²。明亮的晶场的硬度为223公斤/毫米²。在1 X18H9 T 钢上发现有几种相。到中有一些沿晶界分布，并提高了硬度达751公斤/毫米²，其它几种均在晶粒场上分布，其硬度提高至416公斤/毫米²。在第一种情况下，它们可能是简单的和复杂的碳化铬以及金属间化合物。个别金属间化合物的聚集用显微镜可以观察到，但确定其硬度是有困难的。因为当用锥形金刚石压痕时，这类聚集物因脆性而破坏。

用定性有色酸洗法可在上述钢中显现出其它夹杂物，如：FeO——氧化铁，MnO——氧化锰，FeO·TiO₂——钛铁矿和2FeO·SiO₂——铁橄榄石。这些稀有夹杂物多半是在650°下回火后于晶界附近发现的。有关18—8不锈钢中夹杂物的资料列于表2。这些化合物对晶间腐蚀没有直接影响。

经过各种回火规范之后研究证明，在钢中可以出现α一相。

晶间腐蚀的试验是采用下列几种方法进行的：

a) 在20% HNO₃ + 1% NaF溶液中保温，b) 在65% 硝酸中沸腾（保温），b) 在用硫酸酸化的硫酸铜溶液中煮沸试样 (110克/升CuSO₄·5H₂O + 55毫升/升H₂SO₄，1升H₂O比重为1.34)，经过的时间按下列公式确定：t = 24 + 12 (α - 1) 小时，式中α—钢的厚度(毫米)。

在試驗用Ti和Nb稳定化的鋼時，為加速溶液的作用，必須降低氧化還原電位，為此曾採用了銅屑。

用有色酸洗法在18—8不銹鋼中發現的夾雜物

表 2

鋼號	熱處理作用	夾雜物				備註
		FeO	MnO	FeO·TiO ₂	FeO·SiO ₂	
1X18H9	1100°淬火	—	—	—	—	晶界
1X18H9	回火2小時, 650°	+	+	—	+	晶界
1X18H9T	1100°淬火	—	—	—	+	晶界
1X18H9T	回火10小時, 650°	+	+	—	—	晶界
X18H12M3T	1100°淬火	—	+	—	—	晶界
X18H12M3T	回火8小時, 650°	+	+	—	—	晶界
X18H11B	1100°淬火	+	—	—	—	晶界
X18H11B	回火10小時, 650°	+	+	—	+	晶界

—無、+發現

為了定量地區分一般腐蝕和晶間腐蝕，曾對這兩種破壞形式的浸透度分別進行了測定。一般腐蝕的浸透深度以重量損耗計算確定。晶間破壞的評價是在試樣電阻比變化基礎上進行的： $\frac{\Delta\rho}{\rho} = \frac{S_1}{S}$ 式中 $\Delta\rho = \rho - \rho_0$ ， ρ —被腐蝕試樣的電阻比， ρ_0 —試樣腐蝕前的電阻比， S_1 —發生晶間腐蝕的被假定面積， S —試樣橫截面全面積。

如果考慮到電阻比變化的一部份屬於一般腐蝕，那麼進行計算和確定了 $\frac{\Delta\rho_0}{\rho_0}$ 比之後，則可以求出表明面積的相對變化與晶間腐蝕的關係式：

$$\frac{S_1}{S} = \frac{\Delta\rho}{\rho} - \frac{\Delta\rho_0}{\rho_0} = \frac{\Delta\rho_{庫倉} \cdot 米}{\rho_{庫倉} \cdot 米}$$

從而，按下列公式可確定晶間腐蝕的假定面積： $S_1 = S \frac{\Delta\rho_{庫倉} \cdot 米}{\rho_{庫倉} \cdot 米}$

試樣在原始狀態下所具有的電阻比為0.690—0.710歐姆毫米²/米範圍內。在腐蝕發展的第一階段，當一般腐蝕和晶間腐蝕速度相等，按其外部特徵難以區分時， ρ 變化至0.741歐姆毫米²/米。晶間腐蝕的優先發展導致曲線 $\rho-Z$ （圖3）折斷。在晶間腐蝕的繼續發展階段發現有單個結晶體析出，而隨後為成組的結晶體析出。電阻比相應的變化由0.738至0.950歐姆毫米²/米和由0.880至1.05歐姆毫米²/米。在時間上，這些階段在頗大程度上取決於鋼的化學成分，特別是鈦、鉻和錳的穩定劑的存在。

一般腐蝕和晶間腐蝕試驗後，用比色法研究了溶液中鐵、鉻、鎳和錳的含量。表3為1X18H9鋼經過各種熱處理後的試驗結果。

电阻的确定是在图 2 所示的装置上进行的。

1. ЛАТР, 2. 具有稳压器的整流装置, 3. 双电桥, 4. 試样电阻組, 5. 二級電鍵, 6. 容器, 7. 試样, 8. 显微鏡的物鏡。

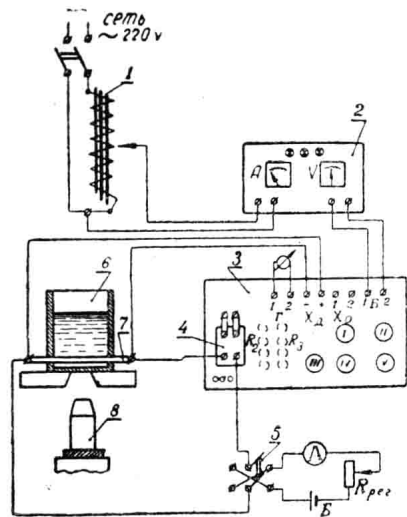


图2 同时测定电阻和在显微鏡下觀測腐蝕表面狀況的裝置示意图。

仅在一般腐蝕情況下，鐵同鉻在65%的沸騰硝酸中的比例变化（1X18H9鋼）

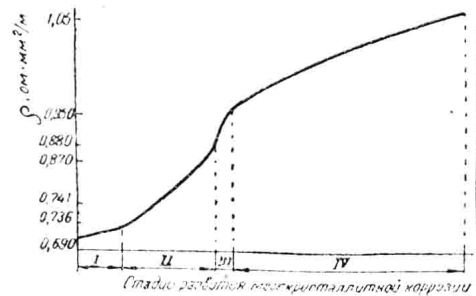


图3 在20% HNO_3 + 1% NaF 溶液中在650°回火后1X18H9鋼电阻比 (ρ) 的变化。

溫 度 °C

溶液中鉄含量与鉻含量比	850	1000	1100
-------------	-----	------	------

一 般 加 热 方 法 时 的 淬 火

經 过 24 小 时	2.42	2.36	2.11
經 过 160 小 时	1.97	1.98	1.88

高 頻 加 热 时 的 淬 火

經 过 24 小 时	1.53	1.47	1.68
經 过 160 小 时	1.74	1.44	2.11

采用一般加热方法淬火后，首先主要是鉄向溶液过渡，而后，到160小时試驗时发生鉻的富化。在850°和1000°高頻加热时淬火的鋼发现有相反的情况——在試驗末期发生鉄的富化。仅在1100°淬火的鋼中溶液中的鉻含量会随着时间的延长而提高，在1X18H12M3T鋼中，鉄与鉻在溶液中的最大比是在850°淬火后发现的。这种比例关系在一般加热方法时为4.37，而采用高頻淬火时为3.87。在1100°淬火时，鉄与鉻在試驗期間的平均比为3.35和4.43。同时又发现，1X18H9T鋼經試驗后，在只有一般性腐蝕时，鉻在溶液中的含量比在鋼中的含量

高，而为27至37%。可以得出結論，在一般腐蝕情况下，首先向溶液过渡的鉻、鎳的含量不是固定的，而取决于在此之前所进行的热处理方法。在850°高頻淬火的1X18H9T鋼中发现鎳向溶液的最大过渡。在160小时的試驗期間鎳的平均含量为17%。提高淬火溫度后，鎳的含量逐渐減少，即为：在1000°为15%；在1100°时为12%；在1300°时为11%。类似規律在其它鋼中也有发现（見表4）。

鋼经过160小时的一般腐蝕試驗后鎳在65%的硝酸中的平均含量。

热 处 理	溶液中鎳的含量 %	
	普通加热	高頻加热
850°淬火	9.6	12.0
1000°淬火	9.3	10.0
1100°淬火	8.9	7.66

1 X18H9鋼经过650° 2 小时回火后的試驗證明，鐵与鉻在溶液中的比达到18.5。所以，鐵向溶液中的过渡量較大，它是在析出的剩余相附近形成貧化区域的基础。从图4可看出，此种比在時間上是不固定的。

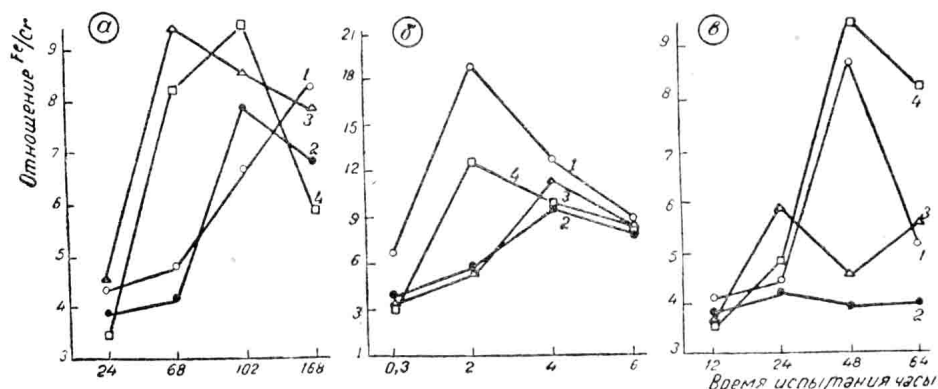


图4 在晶間腐蝕条件下，各种溶液中Fe/Cr比的变化。

a—在沸騰的65% 硝酸中, b—在20% HNO_3 + 1% NaF 的溶液中, c— $CuSO_4 + H_2SO_4$ 的溶液中。鋼：1—1×18H9；2—1X18H9T；3—X18H12M3T；4—X18H11B。

鎳在試驗溶液中的含量不取决于腐蝕破坏的种类。鎳的含量对不同鋼分别为：1X18H9T—1.8%，1X18H9T—0.83%，X18H12M3T—1.65%，和X18H11B—1.87%。

确定18—8型鋼晶間腐蝕的趋势的主要因素为鐵和鉻。在溶液中鐵含量的增加和鉻含量的降低是晶間腐蝕的特征。

结 论

1. 沿晶粒表面的組織的微觀分布取决于以前进行的热处理的方式。在1100°淬火的組織中发现晶界及晶粒的硬度分布是均匀的。經650°回火后，在晶界上发现有析出剩余相，从而

使硬度提高到724—751公斤/毫米²。

2. 晶間腐蝕的发展过程可分为几个阶段，每个阶段均有本身的特征。在第一阶段，一般腐蝕和晶間腐蝕的速度相等，但不能按其外表特征来划分。在第二阶段，晶間腐蝕的速度大大超过一般腐蝕的速度，該速度可以定量地来区分。对第三个阶段來說，单个晶粒从表面上的析出是它的特征。在第四个阶段中，发生成組的晶粒析出。

3. 在一般腐蝕和晶間腐蝕时，18—8鋼的破坏机理是各不相同的。一般腐蝕时，試驗溶液中，鐵与鉻的含量比在1.44至4.43范围内。当有晶間腐蝕时，該比例达到18.5。因此，晶間破坏的特征是：鐵向溶液过渡，而在一般腐蝕时，鉻向溶液过渡。

参考文献10篇（略）。

潘維經摘譯自“Известия высших учебных заведений—химия и химическая технология” том VII, 1964, 1.157—163。

情报組校

不銹鋼容器的晶間腐蝕

B. 略申布萊克

本文對讀者非常重要，因為在企業中經常重複出現容器的損壞。由於在工廠中時常要自己進行修理焊接，雖然焊接問題距本專業範圍較遠，仍然在文中作了較詳細的敘述。通過修理焊接，使容器損壞的機率急劇增加了，從而使企業遭受巨大的經濟損失。文中敘述了防止容器腐蝕致壞的方法並且揭示了產生腐蝕的原因。

I. 引 言

在電鍍企業中，為了適應各種侵蝕條件，成功地採用了18—8系的鉻—鎳高合金鋼。酸洗槽、去銹用的侵酸槽、消除光澤腐蝕槽、以及染色溶液槽等，皆可用優質不銹鋼製成。經常由於材料選擇的錯誤，在對這種鋼進行焊接之後，在焊縫附近出現腐蝕現象。通過酸的作用，在這個區域出現材料的破壞。由於腐蝕是沿着晶體顆粒的邊界進行的，所以稱這種腐蝕為晶間腐蝕。通過這種腐蝕，使金屬晶粒相互分離，從而失去了金屬的聯繫，一般說來，容器的其它部分，在相同的應力條件下，不發生損壞情況。雖然目前對這種腐蝕的原因已作了深入的解釋，並且提出了避免腐蝕的方法，但是在生產中仍然不斷地出現這種現象，其原因是由於焊接不正確，或者是材料選擇不當。

II. 晶間腐蝕的原因

在18—8鉻—鎳鋼(V2A)的發展中，適應於當時的煉鋼方法，一般皆採用約0.1%的含碳量。在對這種鋼進行焊接時，在平行於焊縫的方向上，永遠存在一個活化區，這個區域的一般材料性能沒有很大變化，只是衝擊韌性稍有下降。將這種鋼在450°—850°C之間退火，也得到相同的結果，在650°C時作用最顯著。進一步的試驗證明，焊接後抗蝕性的降低，與奧氏體鋼經過相應的熱處理一樣，都是由於相同的金相組織變化所致。平行於焊縫永遠有一個過渡區域，這個區域在焊接過程中被加熱到了450—850°C。奧氏體18—8鉻—鎳鋼高溫退火後的正常組織示於圖1。

含鉻12—13%的鉻合金鋼，其腐蝕特性與純鉻相似。這種鋼很容易鈍化。這種鋼在鈍態的腐蝕如此之小，以致在實際中可以把它看作完全不受腐蝕。為了達到這種良好的抗蝕狀態，要求鋼中各處皆滿足這一最低的含鉻量。鉻很容易與鋼中的碳形成碳化物。所形成的化合物為 Cr_{23}C_6 。這種碳化物的含鉻量為94.3%。由於這種碳化物的形成，使其周圍的鋼中含鉻量大為下降。

由於鉻比鐵形成碳化物的能力強得多，所以碳在高鉻合金鋼中的溶解度很小。普通碳鋼在奧氏體狀態(在721°C以上)最多可以溶解的碳量為2.1%，而奧氏體18/8鉻—鎳鋼在650°C時只能溶解0.01%的碳。該溶解度隨著溫度的增高而急劇增加，在1100°C時可以溶解0.2%。

若将含碳量很充分的高溫退火18/8鋼（这种状态可以通过加热到1050—1120°C后快速冷却得到）加热到650°C，則剩余的碳即与鉻形成碳化鉻。

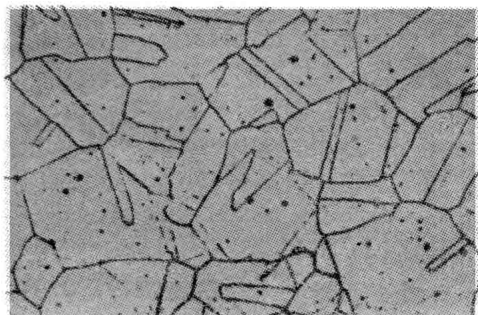


图1 鋼: $\times 5^*$, 鉻鎳18/9, 0.07% 碳
热处理: 高溫退火
沒有晶界析出物
腐蝕: 在草酸中电解
放大倍数: 400倍

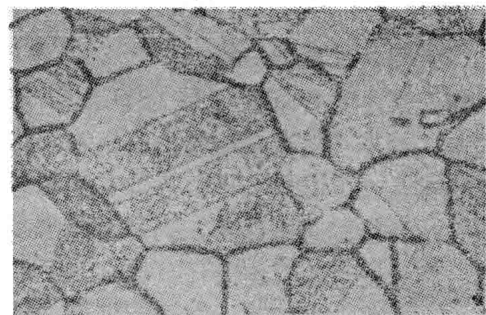


图2 鋼: $\times 12$, 鉻一鎳18/8, 0.095% 碳
热处理: 3分钟750°C/空气
具有强烈的晶間析出物
腐蝕: 在草酸中电解
放大倍数: 400倍

这种碳化鉻 Cr_{23}C_6 在晶界析出。图2和图3表示了具有这种析出物的18/8鋼的金相組織。由于在650°C时，鉻的扩散速度比碳慢得多，所以在晶界附近形成低鉻区。当含鉻量降至12%以下时，则晶粒的这一区域，对强腐蚀介质失去了抗腐蚀性。这时腐蚀仅沿着晶界的这一狭带进行。

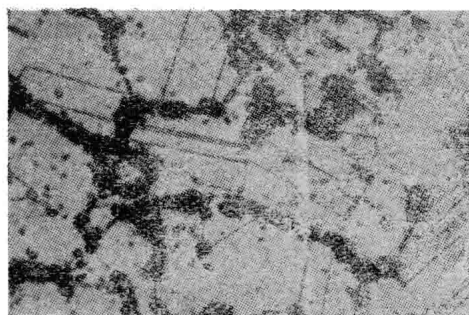


图3 鋼: $\times 12$, 鉻鎳18/8, 0.11% 碳
热处理: 3分钟650°C/空气
具有很强烈的晶間析出物，因为含碳量高
腐蝕: 在草酸中电解
放大倍数: 400倍

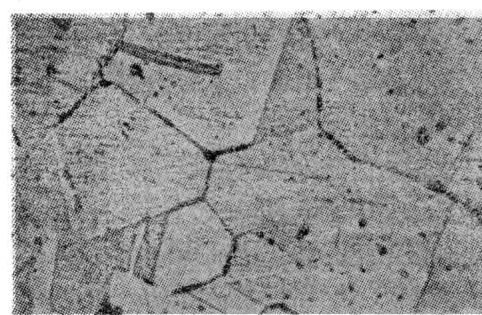


图4 鋼: $\times 5$, 鉻鎳18/9, 0.07% 碳
热处理: 1分钟750°C/空气
由于含碳量低，只具有微弱的項鏈
状晶間析出物
腐蝕: 在草酸中电解
放大倍数: 400倍

对于含有空气的溶液來說，通气元素还产生附加的加速腐蚀的影响，这时出現强烈的腐蚀，但从表面看不出来明显的痕迹。工件沿着晶界出現裂紋。图4和图5表示含碳量較低的18/8鋼局部晶間腐蚀的情况。碳化物在晶界呈項鏈状分布。由于在这种情况下金属中的含碳

* ×后面的数字指鋼中的含碳量——譯者註

量小（含碳0.07%），所以碳化物不能连成一体，因而这种腐蚀的危险性也相应地小些。

III. 阻止腐蚀的可能性

1. 采用含碳量低的钢

降低钢中的含碳量，使它不超过650°C时的溶解极限，则不会出现碳化铬的析出物。这种情况一般是含碳量在0.02%以下。假如加热时间非常长，即使在这样低的含碳量下，仍然会出现晶间腐蚀。近代，对一些特殊工作条件，要求低于0.01%的含碳量。此外必须考虑到，在进行气焊时，含碳量会有明显的增加。在焊缝处的含碳量约为0.1%或更高些。在进行交叉焊或修理焊时，在第一个焊缝处出现临界温度，因而容易腐蚀。直至最近时期，才通过吹送氧气使含碳量如此低的钢得以熔炼出来。

这里可以指出的有含碳量为0.02%的×2铬镍18/9钢和×2铬镍钼18/10钢（成份见表1）。

2. 高温退火

另外一种阻止奥氏体钢焊接后晶间腐蚀的可能性是1100°C进行热处理。在这个温度下，以前形成的碳化铬又重新溶解。沿着晶粒的边缘区域又重新获得了充分的铬。这时整个工件重又处于均匀状态。要注意的是，在退火处理之后应快速冷却，使450—850°C这一段临界温度区能足够快的穿过去。否则，在整个结构中将出现碳化铬的析出物。

这种处理方法只适用于小工件，在退火和淬火时不致产生翘曲。另外，由于碳化物溶解要求较长的退火时间，有时会伴随着出现有害的晶粒长大。

3. 稳定化

现在最常采用的阻止晶间腐蚀的方法是在18/8钢中添加钛或铌。这些金属称为稳定剂。它们与碳的亲和力比铬大，因而优先与碳形成碳化物。这时钢中含的自由碳量低于0.01%。从而消除了形成碳化铬的危险。

为了获得低的自由碳含量，要求稳定剂的含量高于最低值。钛的百分比含量至少应为含碳量的4倍；铌的含量应为碳的8倍。钛的价格比铌便宜，但作用比铌弱些。此外，含钛薄板的抛光有困难。由于析出物的出现，得不到充分光滑的表面。因此在用钛作稳定剂时，必须使碳化钛形成的足够多，使溶解碳的含量不高于0.02%。最好是在850—950°C之间进行退火稳定化。这时可使溶解碳的含量降至0.01%，从而使碳化铬的形成不再可能。在1100°C以上有部分碳化钛重新溶解。这时又出现形成碳化钛的可能性。在1350°C时，全部碳化钛都溶解。在这之后若将金属加热至650°C，则在形成碳化钛的同时，也有碳化铬形成，因为铬的含量大，而且钛的扩散很慢。因而失去了钛的保护作用。

在进行双缝或交叉缝焊接时，在第一次焊接过程中使碳化钛溶解了。第二个焊接过程中将出现碳化铬析出物，从而为晶间腐蚀造成机会。近代的焊接方法（氩弧焊、原子弧焊、电弧焊）仅使钢短时间受热，因而通过两次焊接形成碳化铬的危险很小。在这样短的时间内，很难使碳化钛分解。

在利用铌稳定时比较有利。在熔融状态形成的不是单纯的碳化铌，而是相同份量的碳化

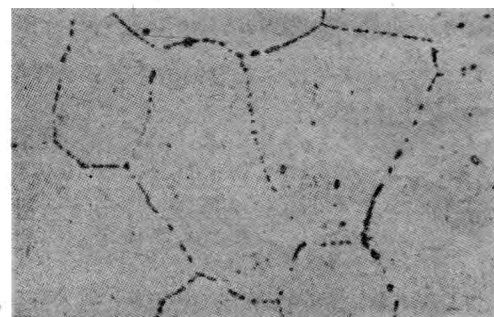


图5 钢：×5, 铬镍18/9, 0.07%碳
热处理：3分钟750°/空气
比图4中的晶界析出物稍多些
腐蚀：在草酸中电解
放大倍数：400倍

鉻与氮化鉻組成的固溶体。这种碳化—氮化—鉻非常稳定。在超过 1200°C 很多时它才溶解。为了溶解全部 $\times 10$ 鉻鎳鉻 $8/9$ 型鋼中的碳化物，需要在 1370°C 保温4小时。除了碳化—氮化—鉻外，还有一些分布很細的简单碳化鉻析出来。这种简单的碳化鉻在 1175°C 开始溶解。它的稳定作用比較小。为了制止这种碳化物的形成，建議采用超过含碳量12倍的鉻添加剂。在加工这种鋼时，应尽量避免使溫度超过 1120°C 。

4. 稳定退火

假若由于經濟原因或其它原因而采用了不稳定鋼时，可以通过稳定退火使鋼具有足够的抵抗晶間腐蝕的能力。該退火溫度位于碳化鉻重新溶解的溫度之下很少一点。合适的溫度为 870°C 。在这个溫度下，碳的溶解度为0.05%左右。鉻的扩散速度是足够大的。假如退火时间足够长（24小时），則鉻由晶粒中心向外扩散至晶界的貧鉻区。从而使整个組織都具备了維持金属鈍态的含鉻量。

經過这种处理的鋼，具有与含碳量0.05%的鋼相似的性質。假如不再使它在临界区的溫度保持很长时间，则这种鋼具有充分的抗蝕性。也可以将不稳定鋼在焊接之前进行稳定退火。在采用快速焊接法（例如氣弧焊）焊接时，不会有太多碳化鉻析出来。假如有交叉焊縫时，则存在腐蝕的危险。在第一个焊縫附近的高溫处（ 1100°C ），通过稳定退火而析出的碳化鉻重新溶解。在第二次焊接时，这个区域的一部分被加热至 650°C 。这时将有碳化物析出，从而提供了晶間腐蝕的可能性。因而一般說来，采用稳定退火是不妥当的因为在以后的修理焊接时經常会引起腐蝕。

有时在緩和的腐蝕条件下也可以直接采用不稳定鋼。但是在采用这种鋼时必須注意，在材料中不能有应力存在。由于工件中应力的存在，将使晶間腐蝕的可能性急剧增加，使得在緩和的条件下也会造成材料的破坏。

IV. 刀状腐蝕

所謂刀状腐蝕，乃指鉻或鉻稳定鋼在紧靠焊縫处产生的晶間腐蝕。这种腐蝕的出現，要求很强烈的腐蝕条件，如很浓的硝酸。由于这样的条件在电镀企业中有时会出现，所以有必要指出这种腐蝕的机理。在焊縫附近，由于有 1300°C 左右的高溫，使碳化鉻或碳化鉻溶解。假如接着再进行一次退火或第二次焊接，使溫度达 650°C ，則沿着焊縫区有碳化鉻析出。这一狭长区容易受腐蝕。由于这个区域很狭，所以称之为刀状腐蝕。当第二次加热不可避免时，必須选用低的含碳量（0.02% 碳）以适应强烈的腐蝕条件。

V. σ —相

在一定条件下，在鉻合金鋼中会有一种脆相析出来，即所謂 σ —相。其平均化学成分是 FeCr。在图 9 和图 7 中可以看出这种相，大多数是从晶粒边界向內增长。与之相反，碳化物主要是在晶間析出。 σ —相的形成溫度在 550 — 950°C 之間。在更高的溫度下，它是不稳定的，因而重新溶解。由于其形成很緩慢，所以在焊接过程中一般并不出現。由于硅和钼以及由于材料中的应力作用，使 σ 相的形成速度急剧提高。这时，在焊接过程中也可以形成。这种鋼在强烈侵蝕介質中易受腐蝕。

由于 σ —相的析出，使材料脆性增大很多。抗冲击性显著下降。在大多数情况下， σ —相的析出条件是在退火去应力过程中或长时间受較高工作溫度的作用。高溫退火可以使 σ —相

溶解，并从而消除变脆和腐蚀可能性。

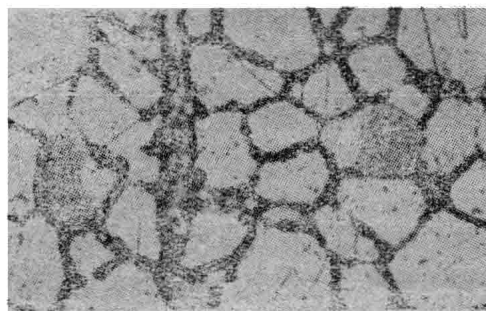


图6 鋼: $\times 12$, 鉻鎳18/8, 0.11% 碳
热处理: 1分钟850°/空气
 σ —相和晶间析出物
腐蚀: 在草酸中电解
放大倍数: 400倍

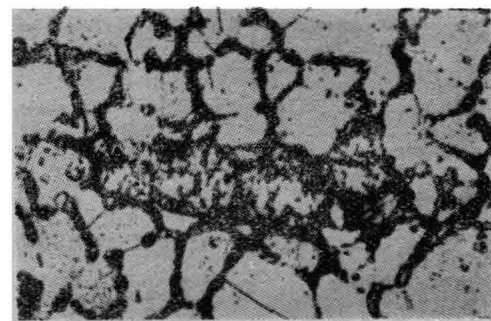


图7 鋼: $\times 12$, 鉻鎳18/8, 0.11% 碳
热处理: 3分钟850°/空气
 σ —相和晶间析出物
腐蚀: 在草酸中电解
放大倍数: 400倍

VI. 焊接方法

1. 气 焊

对奥氏体钢的薄板进行气焊有一定的限制。对承受强烈腐蚀条件的工件，无论如何也不宜采用气焊。在焊缝和焊缝附近，有增碳的危险。由第一节中所叙述的可知，这会促使形成晶间腐蚀。在焊接时，应将焊枪喷出的火焰调节成中性。在整个焊接过程中都要保持这个条件。

在生产中，这样的调节很难实现。火焰在轻度还原焰与轻度氧化焰之间摆动。假如火焰是还原焰（乙炔过多），则出现不利的增碳现象。这时的焊缝很完整，外观也很好。所以焊工喜欢这种调节。用氧化焰焊接容易使焊缝出现缺陷。焊料的流动不良。待焊板料的棱边不易熔化，因而容易造成联接缺陷。另外，对高合金钢来说，还会出现不流动的氧化物。焊料中铬的烧损很明显。假如不在焊条中增加过多的含铬量来补偿这种烧损，则将造成焊缝含铬量的降低。

在进行气体熔焊时，必须采用一种熔剂。所有常用的熔剂，包括含大量硼的熔剂在内，都可以采用。使用含硼熔剂，有出现焊接裂纹的危险，因为铬可以还原一部分硼，并进入焊料之中。

板料在焊接之前要清除焊缝附近的氧化物和油脂。最好用三氯乙烯去油脂，并且用砂纸或不锈钢刷子刷净。假如用其它材料的刷子时，由于这种材料在表面留有痕迹，所以在适当的腐蚀介质中有可能产生点腐蚀。当采用非合金钢刷子时，将出现表面锈斑，从而造成废品。

焊条的材料一般应采用与焊件相同成份的材料。当火焰调节适当时，烧损很小。焊缝的化学成份没有明显改变。只有钛的氧化趋势较强。因此在焊缝中没有把握获得要求的含钛量。由于钛的烧损较小，所以即使是对以钛作稳定剂的焊件，也宜采用钛稳定剂的焊条。在任何情况下都必须采用带有稳定剂的焊条，否则在交叉焊或修理焊的焊缝处很容易腐蚀。表2表示了焊条材料的化学成份。借助焊条中稍高些的合金元素含量，可以弥补烧损。在焊接时

表 1

材料表400—54中的轧制不锈钢和锻件不锈钢

DIN17006中 的 符 号	以百分数表示的化学成分 (平均值)						
	碳	硅	锰	铬	钼	镍	其 它
X10Cr13	<0.12	<1.0	<1.0	13.0	—	—	—
X15Cr13	0.15	<1.0	<1.0	13.0	—	—	—
X20Cr13	0.20	<1.0	<1.0	13.0	—	—	—
X40Cr13	0.42	<1.0	<1.0	13.0	—	—	—
X8Cr17	<0.10	<1.0	<1.0	16.5	—	—	—
X8CrTi17	<0.10	<1.0	<1.0	17.0	—	—	Ti>7×%C
X12CrMoS17	0.14	<1.0	<1.0	16.5	0.25	—	0.15—0.25%S
X22CrNi17	0.18	<1.0	<1.0	17.0	—	2.0	—
X12CrNi18/8	<0.15	<1.0	<2.0	18.0	—	9.0	—
X12CrNiS8/8	<0.15	<1.0	<2.0	18.0	—	9.0	0.10—0.20%S
X5CrNi18/9	<0.07	<1.0	<2.0	18.0	—	10.0	—
X10CrNiTi18/9	<0.10	<1.0	<2.0	18.0	—	10.0	Ti>5×%C
X10CrNiN18/9	<0.10	<1.0	<2.0	18.0	—	10.0	Nb>8×%C
X5CrNiMo18/10	<0.07	<1.0	<2.0	17.5	2.3	11.5	—
X10CrNiMoTi18/10	<0.10	<1.0	<2.0	17.5	2.3	11.5	Ti>5×%C
X10CrNiMoNb18/10	<0.10	<1.0	<2.0	17.5	2.3	11.5	Nb>8×%C
X5CrNiMo18/12	<0.07	<1.0	<2.0	17.5	2.8	12.5	—
X10CrNiMoTi18/12	<0.10	<1.0	<2.0	17.5	2.8	12.5	Ti>5×%C
X10CrNiMoNb18/12	<0.10	<1.0	<2.0	17.5	2.8	12.5	Nb>8×%C
X8CrMoTi17	0.10	<1.0	<1.0	17.0	1.8	—	Ti>7×%C
X20CrMo13	0.20	<1.0	<1.0	13.0	1.2	—	—
X35CrMo17	0.35	<1.0	<1.0	16.5	1.2	—	—
X110CrMoV15	1.10	<1.0	<1.0	15.0	0.5	—	0.10—0.15%V
X90CrMoV18	0.90	<1.0	<1.0	18.0	1.2	—	0.07—0.12%V
X90CrMoVC017	0.90	<1.0	<1.0	16.5	0.5	—	{ 0.20—0.30%V 1.2—1.8%C.
X12MnCr18/10	<0.15	<1.0	18.0	12.0	0.5	2.0	0.08%P
X8CrNi12/12	<0.10	<1.0	<2.0	12.5	—	13.0	—
X12CrNi17/7	<0.15	<1.0	<2.0	17.0	—	7.5	—
X5CrNiMoSi18/12	<0.07	2.3	<2.0	17.5	2.3	13.0	—
X10CrNiMoTi18/10/1	<0.10	<1.0	<2.0	17.5	1.4	11.5	Ti>5×%C
X5CrNiMo17/13	<0.07	<1.0	<2.0	17.0	4.5	13.5	—
X5CrNiMoCuNb18/18	<0.07	<1.0	<2.0	17.5	2.3	17.5	{ 1.8—2.2%Cu Nb>8×%C
X5CrNiMoTi25/25	<0.06	<1.0	<2.0	25.0	2.3	25.0	Ti>5×%C
X8Cr28	<0.10	<1.0	<1.0	28.0	—	—	—

表2

焊接不銹鋼的焊條材料

DIN17006中 的符號	以百分數表示的化學成分(平均值)						
	碳	硅	錳	鉻	鉬	鎳	其 它
X8Cr14	<0.10	<1.0	<1.0	14.0	—	—	—
X8Cr18	<0.10	<1.0	<1.0	18.0	—	—	—
X8CrTi18	<0.10	<1.0	<1.0	18.0	—	—	Ti>7×%C
X8CrNb18	<0.10	<1.0	<1.0	18.0	—	—	Nb>8X%C
X15CrMo13	<0.15	<1.0	<1.0	13.0	1.2	—	—
X5CrNi19/9	<0.06	<1.5	<1.5	19.0	—	9.5	—
X8CrNiNb19/9	<0.10	<2.0	<1.5	19.0	—	9.5	Nb>12×%C
X5CrNiMo19/10	<0.06	<1.5	<1.5	19.0	2.5	10.0	—
X8CrNiMoNb19/10	<0.10	<2.0	<1.5	19.0	2.5	10.0	Nb>12×%C
X8CrNiMoNb19/12	<0.10	<2.0	<1.5	19.0	3.2	12.5	Nb>12×%C
X8CrNiMoNb25/25	<0.10	<1.5	<1.5	26.0	2.5	25.0	Nb>12×%C
X8CrNiMoNb17/13	<0.10	<1.5	<1.5	18.0	4.5	13.5	Nb>12×%C
X8NiCrMoCuNb20/18	<0.10	<1.5	<1.5	18.0	2.5	20.0	Nb>12×%C 1.8—2.2%Cu

要注意，焊料要永远位于焊接火焰的范围内。不宜于使焊接火焰来回摆动。因为这将导致液态的焊料与空气发生断续的接触。由于强烈的氧化作用，将在焊缝中造成缺陷。由于相同的缘故，焊条的端部也应该永远位于焊接火焰的笼罩之中。

此外应该考虑，奥氏体钢的延伸率比碳钢高50%。再加上热传导系数低，所以在焊接后容易出现工件的翘曲。因此在焊接前要将零件牢固地卡紧或张紧。

2. 电弧焊

一奥氏体钢的电弧焊，大体上说来与软钢的电弧焊相似。由于电弧的稳定性差，所以推荐用直流电。假如采用交流电焊接，电弧电压不宜超过70伏。因为奥氏体焊条的电阻比软钢的电阻大，所以不能采用过高的焊接电流，以避免焊条的过热。

与气焊时一样，这里也最好采用以铌作稳定剂的电焊条。铌的烧损比较严重。铌使焊缝稳定，而且在以后的加热过程中，也不导致腐蚀的出现。电焊条材料（见表2）的化学成份中应含有少量的铁素体。这样可以减小在焊缝中出现裂纹的可能性。这种铁素体对材料的抗蚀性没有影响，因为它在材料中是分散的。当铁素体含量较高时，有时会导致点腐蚀。

奥氏体电焊条的保护层有两种较好的形式，钛酸的和石灰碱的电焊条保护层。两种保护层都有轻微的吸湿性。建议在使用前于100—150°C之间进行干燥。保护层的作用是使电弧保持稳定，并防止熔融的焊料氧化。钛酸电焊条既适用于直流电，也适用于交流电，而石灰碱

电焊条则只能用于直流电。通过保护层使添加合金元素有可能。

为了减小铬的烧损，推荐添加铬铁。镍也可以用这种方式添加进去。由于在电弧焊时不出现增碳现象，所以也可以采用低含碳量的不稳定焊条。即使加热到650°C，焊缝仍然保持良好的抗腐蚀性，因为低的含碳量不致产生碳化析出物。

3. 气体保护焊

在化学工业和食品工业中，越来越多地采用氩弧焊接法焊接奥氏体钢。电弧在被焊工件与钨极之间形成。电极被一个喷咀包围，由喷咀中喷出氩气。氩气可以防止空气进入焊接区，并从而避免了氧化。焊条被送至熔融区。在进行氩弧焊时，焊条不必采用保护层。焊缝处既没有熔剂，也没有氧化物。在大多数情况下不必再进行加工了。由于热量比较集中，所以焊接速度比气焊高。建议在采用的钨极中加入百分之几的二氧化钍 (ThO_2)。这样可以降低电极的工作温度，并降低点火电压。

由于在进行氩弧焊时空气不能进入熔融区，所以合金元素的烧损小。以钛作为稳定剂的焊条，可以得出抗腐蚀性很高的焊缝。假如要求焊接的背面完好无缺，例如有时对管子内壁的要求，则这里也要防止空气进入。对于管子，可以用氩气充满管子的两端。另外，也可以采用气熔焊中采用的熔剂。这样可以将焊缝的背面密封起来。也可以将纸条、金属带或树脂与橡胶混合剂贴在焊缝的背面。在焊接简单容器时，例如应用在电镀技术中的容器时，一般不要求这种保险措施。

与上述的其它焊接方法相比，氩弧焊的优点为：焊炬使用简单，不需要熔剂或焊条保护层以及焊料的烧损小。由于焊件的加热温度低和焊接速度快，即使对含碳量不很高的不稳定钢进行焊接，也不易产生腐蚀。只是在侵蚀性很强的腐蚀介质中才可能出现腐蚀。由于这种方法在焊接奥氏体钢时的经济性，可以肯定，在化学工业之外也有其发展前途。通过采用便宜的焊件和焊料，可以很快抵消较贵的氩气费用。

程瑞全 譯自 Galvanotechnik 1962, No1,

27—35